

## 特征

- 双极性模拟输入范围:  $\pm 10V$ 、 $\pm 5V$
- 5V 模拟电源, 1.7V 至 5.25V 数字接口电源
- 8 通道同步采样输入
- 性能
  - 模拟输入 ESD HBM 可达 7000V
  - 92dB SNR (无过采样), -105dB THD
  - $\pm 1LSB$  INL,  $\pm 0.8LSB$  DNL
- 灵活的并行/串行接口
  - SPI/QSPI/MICROWIRE/DSP 兼容
- 完全集成的数据采集解决方案
  - 模拟输入钳位保护
  - 具有  $1M\Omega$  模拟输入阻抗的输入缓冲器
  - 二阶抗混叠模拟滤波器
  - 片内精密基准电压及缓冲
  - 16 位、200kSPS ADC (所有通道)
  - 通过数字滤波器提供过采样功能
- 低功耗: 运行 107.5mW, 待机 28.5mW
- LQFP64 10mm × 10mm 封装

## 应用

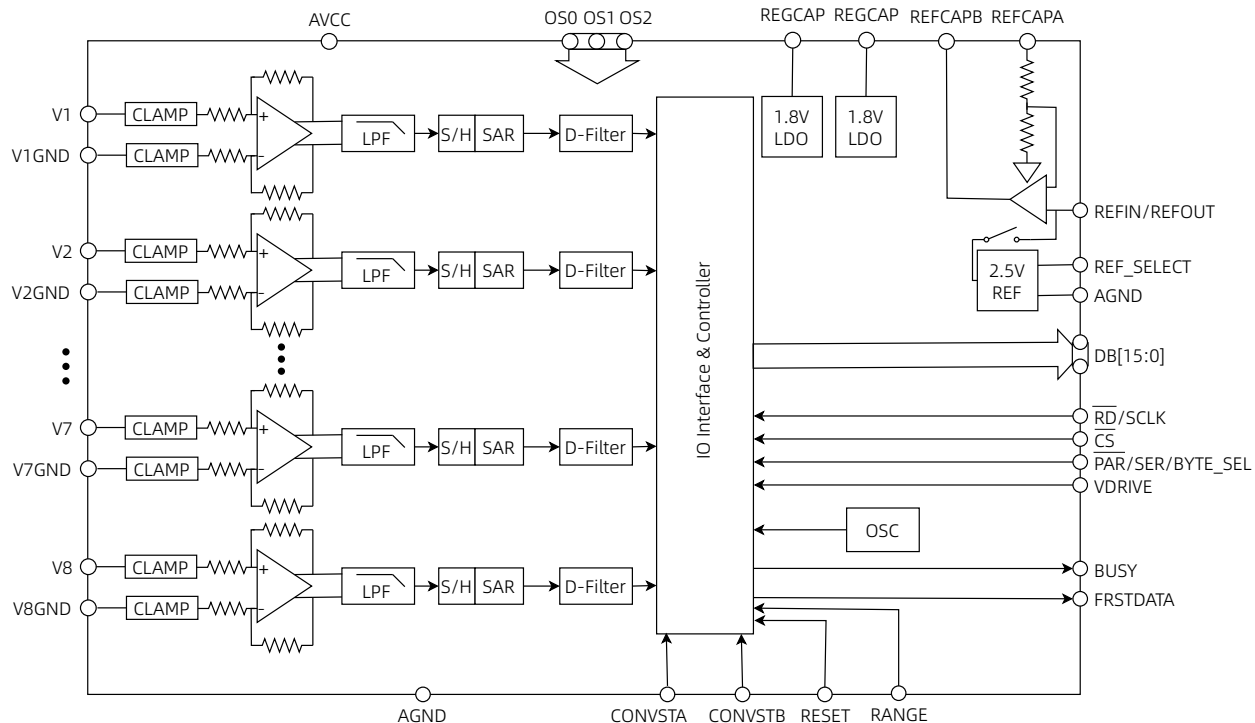
- 数据采集系统
- 电力线监控和保护系统
- 多轴定位系统
- 多相电机系统
- 仪表和控制系统

## 概述

CM2248 是一款 16 位、8 通道同步采样模拟数据采集系统 (DAS)。各通道均内置模拟输入钳位保护、二阶抗混叠滤波器、跟踪保持放大器、16 位 SAR ADC，内置了灵活的数字滤波器、2.5V 基准电压源、基准电压缓冲以及高速串行和并行接口。

CM2248 采用 5V 单电源供电，可以处理  $\pm 10V$ 、 $\pm 5V$  真双极性输入信号，同时所有通道均能以高达 200kSPS 的采样率采样。在各种采样频率工作下，输入钳位保护电路可以承受高达  $\pm 18.5V$  的电压。 $1M\Omega$  的高输入阻抗以及片内滤波器，可以极大简化外围电路设计。

## 架构框图



# 目录

封页	1	钳位保护	20
特征	1	抗混叠滤波器	20
应用	1	采样保持放大器	21
概述	1	内部/外部基准	21
架构框图	1	多芯片并联外部基准电压模式	21
文档历史	3	多芯片并联内部基准电压模式	21
管脚配置和功能	4	ADC 传递函数	22
管脚配置	4	数字滤波器	22
管脚功能	4	功能与模式	23
绝对最大额定值	8	功耗模式	23
电气规格	9	转换控制	23
时序规格	11	数字接口	24
通用时序规格	11	并行接口	24
FRSTDATA 时序规格	12	串行接口	24
并行模式时序规格	12	并行字节接口	24
串行模式时序规格	14	应用	25
典型特征	16	典型连接	25
工作原理	20	封装及订购信息	26
模拟输入	20	封装方式	26
输入范围	20	产品外形图	26
输入阻抗	20	订购信息	27

## 文档历史

下表列举了本文档自产品发布后的所有更新。

文档版本	修订日期	内容描述
V1.0	2023-11-27	初版发布。
V2.0	2024-04-19	内容更新如下： <ul style="list-style-type: none"><li>修正<a href="#">绝对最大额定值</a>表中的 ESD 值。</li><li>根据量产数据修正<a href="#">电气规格</a>表中的参数值。</li><li>修正<a href="#">图 10</a> 中的纵坐标。</li><li>新增章节<a href="#">数字滤波器</a>。</li><li>优化<a href="#">产品外形图</a>。</li></ul>
V2.1	2024-08-27	更新 <a href="#">管脚功能</a> 中 RESET 管脚描述。
V2.2	2025-04-28	优化 <a href="#">工作原理</a> 章节描述。
V2.3	2025-05-22	根据量产数据修正 <a href="#">电气规格</a> 表中的参数值。
V2.4	2025-06-10	优化 <a href="#">典型特征</a> 。

# 管脚配置和功能

## 管脚配置

以下为 CM2248 LQFP64 封装管脚示意图：

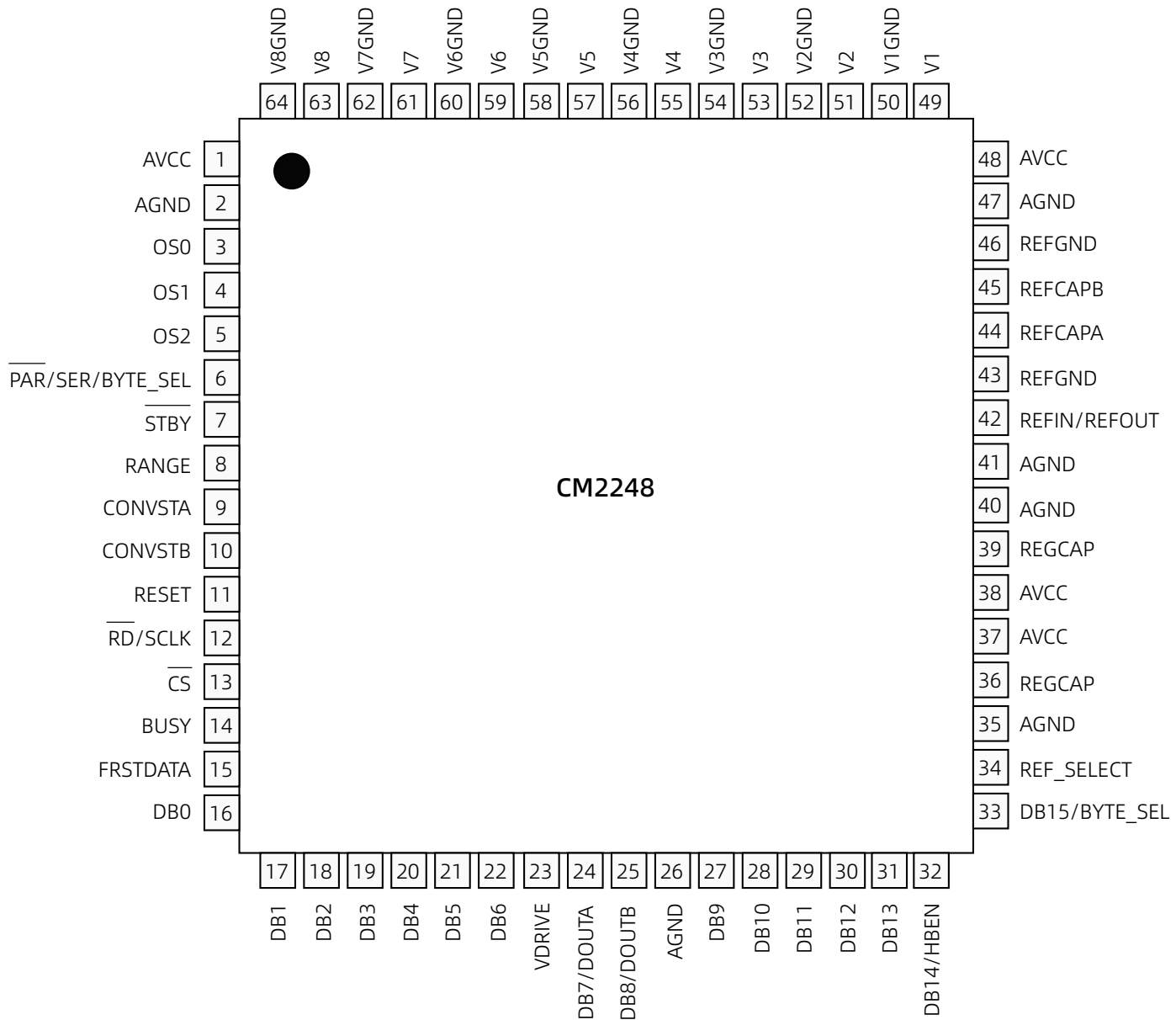


图 1 管脚示意图 (顶视图)

## 管脚功能

表 1 管脚功能描述

编号	名称	类型	说明
1	AVCC	PWR	模拟电源电压。通过 100nF 与 10μF 的并联去耦电容连接至 AGND。
2	AGND	GND	模拟地。这些管脚是 CM2248 所有模拟电路的接地基准点，所有模拟输入信号和外部基准信号都应该参考这些管脚。所有 6 个 AGND 管脚都应连到系统的 AGND 平面。

编号	名称	类型	说明
3	OS0	DI	过采样模式管脚，这些输入用来选择过采样倍率。OS2 为 MSB 控制位，OS0 为 LSB 控制位。
4	OS1		
5	OS2		
6	$\overline{\text{PAR}}/\text{SER}/\text{BYTE\_SEL}$	DI	与 DB15/BYTE_SEL 管脚共同决定数字接口模式。如果此管脚接逻辑低电平，则选择并行接口。如果此管脚接逻辑高电平并且 DB15/BYTE_SEL 接逻辑低电平，则选择串行接口。如果此管脚与 DB15/BYTE_SEL 管脚都接高电平，则选择并行字节模式。
7	$\overline{\text{STBY}}$	DI	待机模式输入。此管脚用来让 CM2248 进入两种低功耗模式之一：待机模式或关断模式。RANGE 管脚状态则决定进入具体某种低功耗模式。待机模式下，除片内基准电压、稳压器和稳压器缓冲外的所有其他电路均关断。关断模式下，所有电路均关断。
8	RANGE	DI	模拟输入范围选择。此管脚的极性决定模拟输入通道的输入范围。如果此管脚与逻辑高电平相连，则所有通道的模拟输入范围为 $\pm 10V$ 。如果此管脚与逻辑低电平相连，则所有通道的模拟输入范围为 $\pm 5V$ 。此管脚的逻辑状态改变会立即影响模拟输入范围，对于快速吞吐速率应用，转换期间建议不要更改此管脚的逻辑状态。
9	CONVSTA	DI	转换开始控制信号。V1、V2、V3、V4 由 CONVSTA 启动同步采样，V5、V6、V7、V8 由 CONVSTB 启动同步采样。如果要对所有输入通道同时采样，可以将 CONVSTA 和 CONVSTB 短接在一起，并施加一个转换开始信号。
10	CONVSTB		
11	RESET	DI	该管脚输入逻辑高电平将芯片复位，进行中的转换将中断，输出寄存器的内容将复位至全 0。 在芯片上电完成后，需使用长于 50ns 的高电平脉冲对芯片进行一次复位操作。
12	$\overline{\text{RD}}/\text{SCLK}$	DI	并行接口模式下，该管脚为并行数据读取控制输入( $\overline{\text{RD}}$ )；串行接口模式下，该管脚为串行时钟输入(SCLK)。
13	$\overline{\text{CS}}$	DI	片选。此管脚处于逻辑低电平将使能数据帧传输。
14	BUSY	DI	转换指示信号。CONVSTA 和 CONVSTB 均达到高电平后，此管脚变为逻辑高电平，表示转换过程已经开始。BUSY 输出将保持高电平，直到所有通道的转换过程完成为止。BUSY 信号的下降沿将转换数据锁存至输出数据寄存器。当 BUSY 信号为高电平时，CONVSTA 或 CONVSTB 管脚的上升沿信号将不起作用。
15	FRSTDATA	DO	FRSTDATA 指示第一通道 V1 的数据可以通过数字接口回读。当 $\overline{\text{CS}}$ 输入为高电平时，FRSTDATA 输出管脚处于三态。 $\overline{\text{CS}}$ 下降沿使 FRSTDATA 脱离三态。在并行模式下，与 V1 结果对应的 $\overline{\text{RD}}$ 下降沿将 FRSTDATA 管脚设为高电平，在下一个 $\overline{\text{RD}}$ 下降沿之后，FRSTDATA 输出恢复逻辑低电平。在串行模式下，FRSTDATA 在 $\overline{\text{CS}}$ 下降沿变为高电平，此时将在 DOUTA 上输出 V1 的 MSB。 在 $\overline{\text{CS}}$ 下降沿之后的第 16 个 SCLK 下降沿，FRSTDATA 恢复低电平。
16~22	DB0 到 DB6	DO	并行输出数据位 DB0 到 DB6。当 $\overline{\text{PAR}}/\text{SER}/\text{BYTE\_SEL}$ 为逻辑低电平时，这些管脚充当并行数字输入/输出管脚。当 $\overline{\text{PAR}}/\text{SER}/\text{BYTE\_SEL}$ 为逻辑高电平时，这些管脚应连接至 AGND。当工作在并行字节接口模式时，DB[7:0] 通过 2 个 RD 操作输出 16 位转换结果。DB7 (管脚 24) 为 MSB，DB0 为 LSB。
23	VDRIVE	PWR	逻辑电源输入。此管脚的电源电压 (1.7V 至 5.25V) 决定逻辑接口的工作电压。此管脚的标称电源应与控制器 (DSP 或 FPGA) 接口电源相同。
24	DB7/DOUTA	DO	并行输出数据位 DB7 或串行接口数据输出管脚 DOUTA。
25	DB8/DOUTB	DO	并行输出数据位 DB8 或串行接口数据输出管脚 DOUTB。
26	AGND	GND	模拟地。

编号	名称	类型	说明
27~31	DB9 到 DB13	DO	并行输出数据位 DB9 至 DB13。当 $\overline{\text{PAR}}/\text{SER}/\text{BYTE\_SEL}$ 为逻辑低电平时，这些管脚充当并行数字输出管脚。当 $\overline{\text{PAR}}/\text{SER}/\text{BYTE\_SEL}$ 为逻辑高电平时，这些管脚应连接至 AGND。
32	DB14/HBEN	DI/O	当 $\overline{\text{PAR}}/\text{SER}/\text{BYTE\_SEL}$ 为逻辑低电平时，此管脚充当并行数字输出管脚。当 $\overline{\text{PAR}}/\text{SER}/\text{BYTE\_SEL}$ 为高电平时，该管脚应连接至 AGND。当 $\overline{\text{PAR}}/\text{SER}/\text{BYTE\_SEL} = 1$ 且 $\text{DB15}/\text{BYTE\_SEL} = 1$ 时，CM2248 工作在并行字节接口模式。在该模式下，HBEN 管脚用来选择是首先输出转换结果的高字节 (MSB) 还是低字节 (LSB)。 当 HBEN = 1 时，首先输出 MSB，然后输出 LSB。当 HBEN = 0 时，首先输出 LSB，然后输出 MSB。
33	DB15/BYTE_SEL	DI/O	当 $\overline{\text{PAR}}/\text{SER}/\text{BYTE\_SEL}$ 为逻辑低电平时，此管脚充当并行数字输出管脚。当 $\overline{\text{PAR}}/\text{SER}/\text{BYTE\_SEL}$ 为逻辑高电平时，BYTE_SEL 管脚用来在串行接口模式与并行字节接口模式之间做出选择。当 $\overline{\text{PAR}}/\text{SER}/\text{BYTE\_SEL} = 1$ 且 $\text{BYTE\_SEL} = 0$ 时，CM2248 工作在串行接口模式。 当 $\overline{\text{PAR}}/\text{SER}/\text{BYTE\_SEL} = 1$ 且 $\text{BYTE\_SEL} = 1$ 时，CM2248 工作在并行字节接口模式。
34	REF_SELECT	DI	内部/外部基准电压选择输入。如果 REF_SELECT 为逻辑高电平，则选择并使能内部基准电压。如果此管脚为逻辑低电平，则必须将外部基准电压施加在 REFIN/REFOUT 管脚。
35	AGND	GND	模拟地。
36,39	REGCAP	PWR	内部稳压器电压输出。应分别将这两个输出管脚与 AGND 之间连接一个 $1\mu\text{F}$ 去耦电容。这些管脚上的电压在 1.9V 左右。
37,38	AVCC	PWR	模拟电源电压。通过 $100\text{nF}$ 与 $10\mu\text{F}$ 的并联去耦电容连接至 AGND。
40,41,47	AGND	GND	模拟地。
42	REFIN/REFOUT	A	基准电压输入(REFIN)/基准电压输出 (REFOUT)。如果 REF_SELECT 管脚为逻辑高电平，此管脚将提供 2.5V 片内基准电压供外部使用。如果 REF_SELECT 管脚设置为逻辑低电平，需要将 2.5V 外部基准电压施加到此输入端。无论使用内部还是外部基准电压，都需要在该管脚与 REFGND 之间连接一个 $10\mu\text{F}$ 电容。
43,46	REFGND	GND	基准电压接地管脚。这些管脚应连接至 AGND。
44	REFCAPA	A	基准电压缓冲器输出管脚。必须将 REFCAPA 和 REFCAPB 连接在一起，并通过低有效串联电阻(ESR)的 $10\mu\text{F}$ 陶瓷电容将此管脚连接至 AGND，这些管脚上的电压通常为 4V。
45	REFCAPB	A	参见 REFCAPA。
48	AVCC	PWR	模拟电源电压。通过 $100\text{nF}$ 与 $10\mu\text{F}$ 的并联去耦电容连接至 AGND。
49	V1	AI	模拟输入管脚。此管脚为单端模拟输入，它的模拟输入范围由 RANGE 管脚决定。
50	V1GND	GND	模拟输入接地管脚。所有模拟输入接地管脚都应当连接至系统 AGND 平面。
51	V2	AI	模拟输入管脚。此管脚为单端模拟输入，它的模拟输入范围由 RANGE 管脚决定。
52	V2GND	GND	模拟输入接地管脚。所有模拟输入接地管脚都应当连接至系统 AGND 平面。
53	V3	AI	模拟输入管脚。此管脚为单端模拟输入，它的模拟输入范围由 RANGE 管脚决定。
54	V3GND	GND	模拟输入接地管脚。所有模拟输入接地管脚都应当连接至系统 AGND 平面。

编号	名称	类型	说明
55	V4	AI	模拟输入管脚。此管脚为单端模拟输入，它的模拟输入范围由 RANGE 管脚决定。
56	V4GND	GND	模拟输入接地管脚。所有模拟输入接地管脚都应当连接至系统 AGND 平面。
57	V5	AI	模拟输入管脚。此管脚为单端模拟输入，它的模拟输入范围由 RANGE 管脚决定。
58	V5GND	GND	模拟输入接地管脚。所有模拟输入接地管脚都应当连接至系统 AGND 平面。
59	V6	AI	模拟输入管脚。此管脚为单端模拟输入，它的模拟输入范围由 RANGE 管脚决定。
60	V6GND	GND	模拟输入接地管脚。所有模拟输入接地管脚都应当连接至系统 AGND 平面。
61	V7	AI	模拟输入管脚。此管脚为单端模拟输入，它的模拟输入范围由 RANGE 管脚决定。
62	V7GND	GND	模拟输入接地管脚。所有模拟输入接地管脚都应当连接至系统 AGND 平面。
63	V8	AI	模拟输入管脚。此管脚为单端模拟输入，它的模拟输入范围由 RANGE 管脚决定。
64	V8GND	GND	模拟输入接地管脚。所有模拟输入接地管脚都应当连接至系统 AGND 平面。

## 绝对最大额定值

参数	最小值	最大值	单位
<b>温度</b>			
工作温度	-40	125	°C
存储温度	-65	150	°C
结温		150	°C
回流焊	铅锡焊接温度 (10 秒到 30 秒)	240	°C
	无铅焊接温度	260	°C
<b>耐压</b>			
AVCC 至 AGND	-0.3	7	V
VDRIVE 至 AGND	-0.3	AVCC + 0.3	V
模拟输入至 AGND	-18.5	18.5	V
数字输入至 AGND	-0.3	VDRIVE + 0.3	V
数字输出至 AGND	-0.3	VDRIVE + 0.3	V
REFIN 至 AGND	-0.3	AVCC + 0.3	V
<b>限流</b>			
输入电流 <sup>1</sup>	-10	10	mA
<b>ESD</b>			
HBM	除模拟输入外的所有管脚	2000	V
	仅模拟输入管脚	7000	V
CDM		500	V

注 1：只针对除电源管脚外任意管脚。另外，瞬态电流达到 100mA 不会引起芯片闩锁。

## 电气规格

默认测试条件: VREF = 2.5V 内部/外部基准电压、AVCC = 4.75V~5.25V、VDRIVE = 1.7V~5.25V、f<sub>SAMPLE</sub> = 200kSPS、TA = -40°C~125°C。

参数	测试条件	最小值	典型值	最大值	单位
<b>动态性能</b>					
SNR	±10V 单端	89.5	92		dB
	±5V 单端	88.5	91		dB
	OS = 16, ±5V 单端, f <sub>IN</sub> = 130Hz		93.5		dB
	OS = 16, ±10V 单端, f <sub>IN</sub> = 130Hz		94.3		dB
SINAD	±10V 单端	89.2	92		dB
	±5V 单端	88.2	91		dB
SFDR	±10V 单端	96	108		dB
THD	±10V 单端		-105	-95	dB
IMD	f <sub>a</sub> = 1kHz, f <sub>b</sub> = 1.1kHz, 二阶项		-105.4		dB
	f <sub>a</sub> = 1kHz, f <sub>b</sub> = 1.1kHz, 三阶项		-112.7		dB
通道隔离度	未选中通道的 f <sub>IN</sub> 不超过 100kHz		-110		dB
<b>直流精度</b>					
DNL	16bit	±0.8	±0.99		LSB
INL	16bit	±1	±2		LSB
PFS	外部基准电压源	±4	±20		LSB
	内部基准电压源	±4			LSB
PFS 匹配	±10V 范围	2	8		LSB
	±5V 范围	6	16		LSB
PFS 漂移	外部基准电压源	±2			ppm/°C
	内部基准电压源	±8			ppm/°C
NFS	外部基准电压源	±4	±20		LSB
	内部基准电压源	±4			LSB
NFS 匹配	±10V 范围	2	8		LSB
	±5V 范围	6	16		LSB
NFS 漂移	外部基准电压源	±2			ppm/°C
	内部基准电压源	±8			ppm/°C
双极性 0 码误差	±10V 范围	±1	±4		LSB
	±5V 范围	±5	±12		LSB
双极性 0 码误差匹配	±10V 范围	1	6		LSB
	±5V 范围	6	15		LSB

参数	测试条件	最小值	典型值	最大值	单位
双极性 0 码误差漂移	±10V 范围		10		µV/°C
	±5V 范围		5		µV/°C
<b>模拟输入滤波器</b>					
全功率带宽	-3dB, ±10V 范围		20.6		kHz
	-3dB, ±5V 范围		13.3		kHz
	-0.1dB, ±10V 范围		4.4		kHz
	-0.1dB, ±5V 范围		2		kHz
群延迟	±10V 范围		11		us
	±5V 范围		15		us
<b>模拟输入</b>					
模拟输入电流	输入电压 10V		6.67		µA
输入阻抗			1		MΩ
<b>基准电压输入/输出</b>					
基准输入电压范围		2.475	2.5	2.525	V
基准输出电压	REFIN/REFOUT		2.5		V
基准源温度系数			±7		ppm/°C
<b>电源功耗</b>					
AVCC		4.75		5.25	V
VDRIVE		1.7		5.25	V
IAVCC	关断模式	1	3		µA
	待机模式	5.7	8.5		mA
	静态模式	16.5	23		mA
	转换模式, $f_{SAMPLE} = 200\text{kSPS}$	21.5	28		mA
IVDRIVE	转换模式, $f_{SAMPLE} = 200\text{kSPS}$		2		mA

## 时序规格

默认测试条件: AVCC = 4.75V 至 5.25V、VDRIVE = 1.7V 至 5.25V、VREF = 2.5V 内部/外部基准、TA = -40°C~125°C。

### 通用时序规格

参数	描述	最小值	典型值	最大值	单位
t <sub>CYCLE</sub>	计算公式为: 1/最大吞吐率	1			μs
t <sub>LP_CNV</sub>	最短 CONVSTx 低电平脉冲	10			ns
t <sub>HP_CNV</sub>	最短 CONVSTx 高电平脉冲	10			ns
t <sub>D_CNV_BSY</sub>	CONVSTx 高电平到 BUSY 高电平		25		ns
t <sub>S_BSY</sub>	BUSY 下降沿到 CS 下降沿信号建立时间	0			ns
t <sub>D_BSY</sub>	最后 CS 上升沿与 BUSY 下降沿之间的最长时间	25			ns
t <sub>DEVICE_SETUP</sub>	RESET 低电平到 CONVSTx 高电平之间的最短延迟时间	25			ns
t <sub>CNV_DLY</sub>	CONVSTA/B 上升沿之间最大容许延迟时间		0.5		ms
t <sub>CONV</sub>	转换时间, OS = 0	3			μs
	转换时间, OS = 2	8			μs
	转换时间, OS = 4	18			μs
	转换时间, OS = 8	38			μs
	转换时间, OS = 16	78			μs
	转换时间, OS = 32	158			μs
	转换时间, OS = 64	318			μs
t <sub>RESET</sub>	RESET 高电平脉冲宽度	50			ns
t <sub>WAKE-UP_STANDBY</sub>	STBY 上升沿到 CONVSTx 上升沿 (从待机模式上电时间)	1			μs
t <sub>WAKE-UP_SHUTDOWN</sub>	内部基准, STBY 上升沿到 CONVSTx 上升沿 (从关断模式上电时间)	200 <sup>1</sup>			ms
	外部基准, STBY 上升沿到 CONVSTx 上升沿 (从关断模式上电时间)	12			ms

注 1: 负载 10μF 电容。

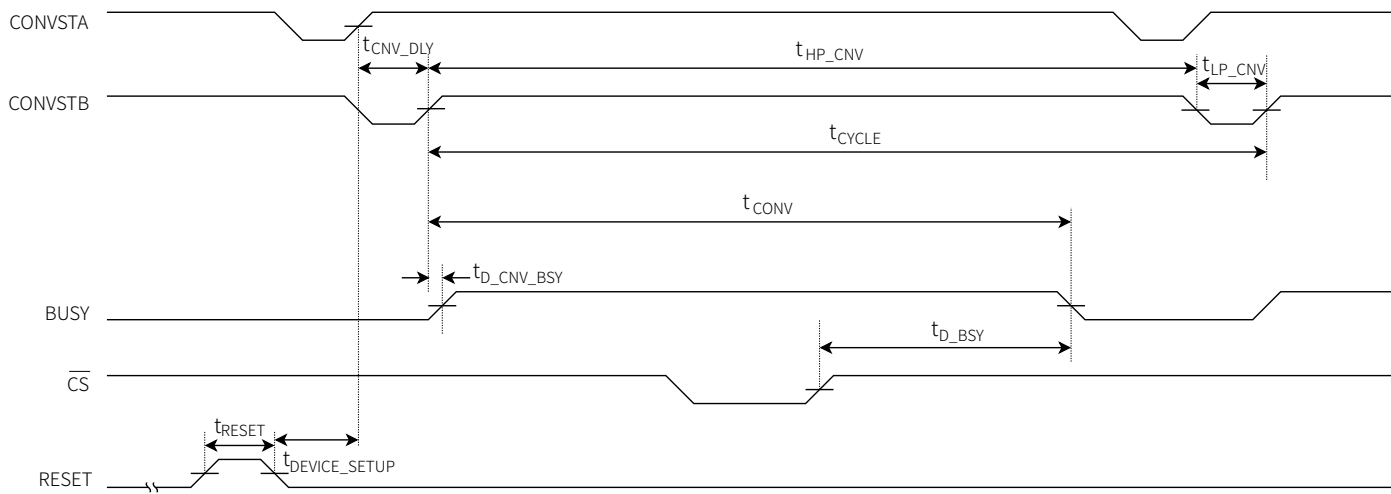


图 2 CONVST 时序-转换期间读取

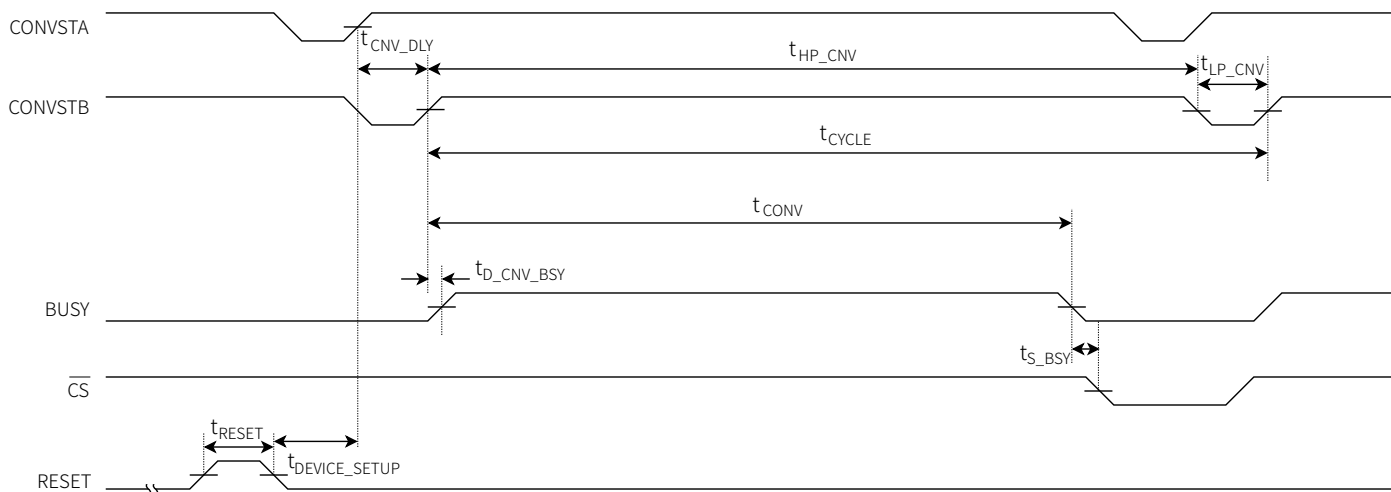


图 3 CONVST 时序-转换之后读取

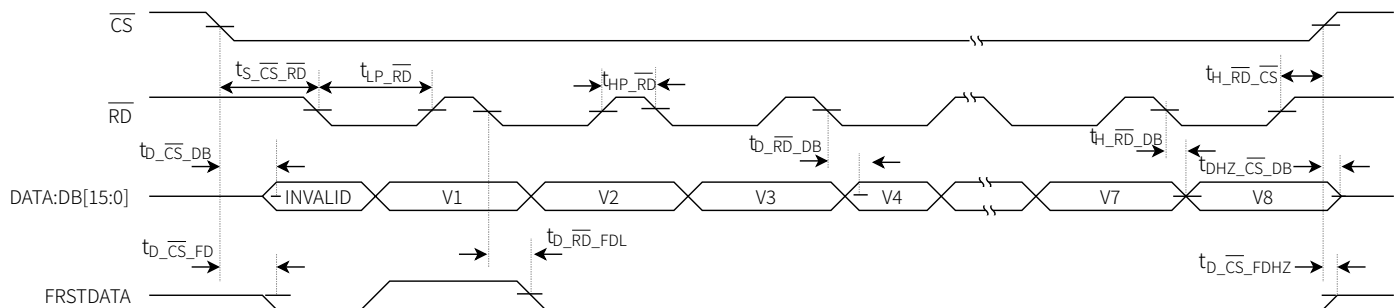
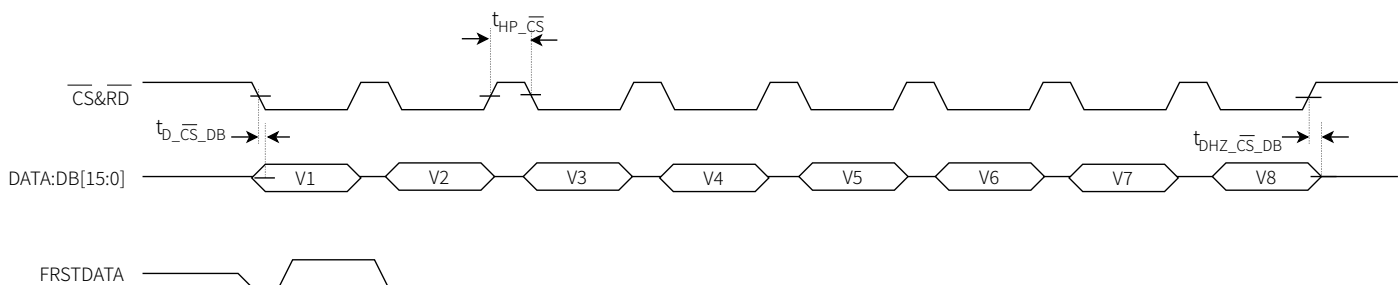
## FRSTDATA 时序规格

参数	描述	最小值	典型值	最大值	单位
$t_{D\_CS\_FD}$	$\overline{CS}$ 下降沿到 FRSTDATA 的变化。	10	15		ns
$t_{D\_RD\_FDL}$	从 $\overline{RD}$ 下降沿到 FRSTDATA 低电平的延迟时间。	13	21		ns
$t_{D\_SCK\_FDL}$	从第 16 个 SCLK 下降沿到 FRSTDATA 低电平的延迟时间。	13	21		ns
$t_{D\_CS\_FDHZ}$	$\overline{CS}$ 上升沿到 FRSTDATA 高阻的延迟时间。	10	15		ns

## 并行模式时序规格

参数	描述	最小值	典型值	最大值	单位
$t_{S\_CS\_RD}$	$\overline{CS}$ 下降沿到 $\overline{RD}$ 下降沿所需信号建立时间。	0			ns
$t_{H\_RD\_CS}$	$\overline{RD}$ 上升沿到 $\overline{CS}$ 上升沿所需信号保持时间。	0			ns
$t_{HP\_RD}$	$\overline{RD}$ 高电平脉冲宽度。	17			ns

参数	描述	最小值	典型值	最大值	单位
$t_{LP\_RD}$	$\overline{RD}$ 低电平脉冲宽度。				
	VDRIVE > 5.25V。	23		ns	
	VDRIVE > 3.3V。	25		ns	
	VDRIVE > 2.3V。	29		ns	
	VDRIVE > 1.7V。	36		ns	
$t_{HP\_CS}$	$\overline{CS}$ 高电平脉冲宽度。	22		ns	
$t_{D\_CS\_DB}$	$\overline{CS}$ 有效到数据位有效延迟。				
	VDRIVE > 5.25V。	15	23	ns	
	VDRIVE > 3.3V。	16	25	ns	
	VDRIVE > 2.3V。	18	29	ns	
	VDRIVE > 1.7V。	23	36	ns	
$t_{D\_RD\_DB}$	$\overline{RD}$ 下降沿后数据建立时间。				
	VDRIVE > 5.25V。	15	23	ns	
	VDRIVE > 3.3V。	16	25	ns	
	VDRIVE > 2.3V。	18	29	ns	
	VDRIVE > 1.7V。	23	36	ns	
$t_{H\_RD\_DB}$	$\overline{RD}$ 下降沿后数据保持时间。	5		ns	
$t_{DHZ\_CS\_DB}$	$\overline{CS}$ 上升沿到数据无效保持时间。		22	ns	

图 4 并行模式, 独立的 $\overline{CS}$ 和 $\overline{RD}$ 脉冲图 5 并行模式,  $\overline{CS}$ 和 $\overline{RD}$ 相连

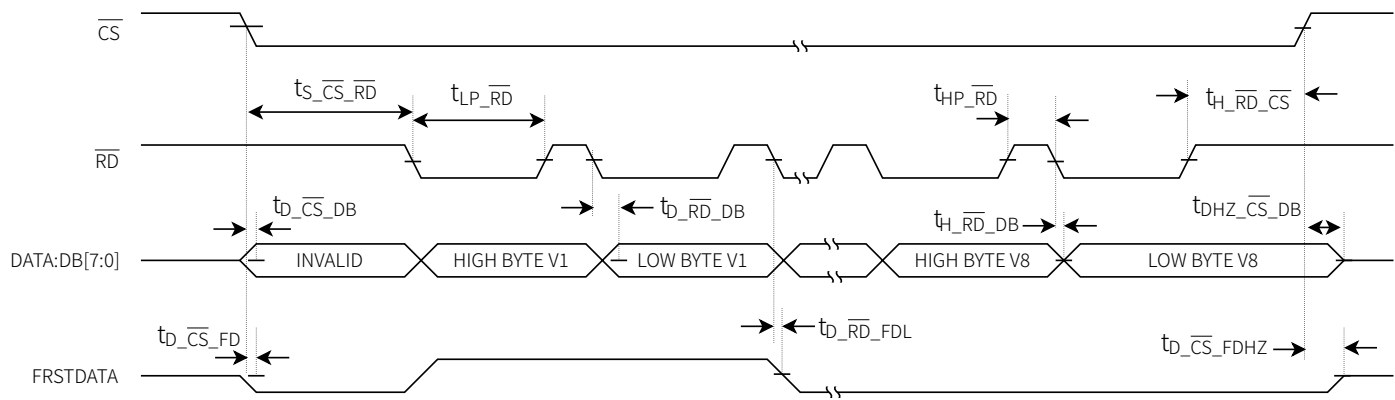


图 6 字节模式读取操作

## 串行模式时序规格

参数	描述	最小值	典型值	最大值	单位
f <sub>SCLK</sub>	串行时钟频率, $f_{SCLK} = 1/t_{SCLK}$				
	VDRIVE > 5.25V。		20		MHz
	VDRIVE > 3.3V。		16		MHz
	VDRIVE > 2.3V。		14		MHz
	VDRIVE > 1.7V。		11		MHz
t <sub>LP_SCK</sub>	SCLK 低电平脉冲宽度。	0.4t <sub>SCLK</sub>			ns
t <sub>HP_SCK</sub>	SCLK 高电平脉冲宽度。	0.4t <sub>SCLK</sub>			ns
t <sub>D_CS_DO</sub>	CS有效到数据有效的延迟。				
	VDRIVE > 5.25V。	8	13		ns
	VDRIVE > 3.3V。	9	14		ns
	VDRIVE > 2.3V。	12	18		ns
	VDRIVE > 1.7V。	17	26		ns
t <sub>D_SCK_DO</sub>	SCLK 上升沿后数据访问时间。				
	VDRIVE > 5.25V。	14	20		ns
	VDRIVE > 3.3V。	15	24		ns
	VDRIVE > 2.3V。	18	28		ns
	VDRIVE > 1.7V。	23	36		ns
t <sub>H_SCK_DO</sub>	SCLK 上升沿后数据的保持时间。	5			ns
t <sub>DHZ_CS_DO</sub>	CS上升沿到数据不定态的延迟时间。	18	27		ns
t <sub>S_CS_SCLK</sub>	CS下降沿到 SCLK 下降沿的建立时间	2			ns
t <sub>H_SCLK_CS</sub>	SCLK 上升沿到CS上升沿的保持时间	3			ns

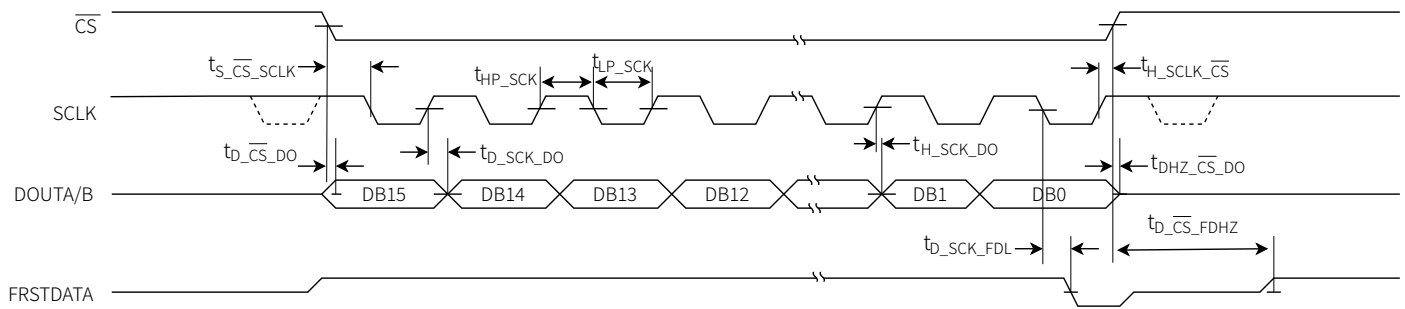


图 7 串行读取操作

## 典型特征

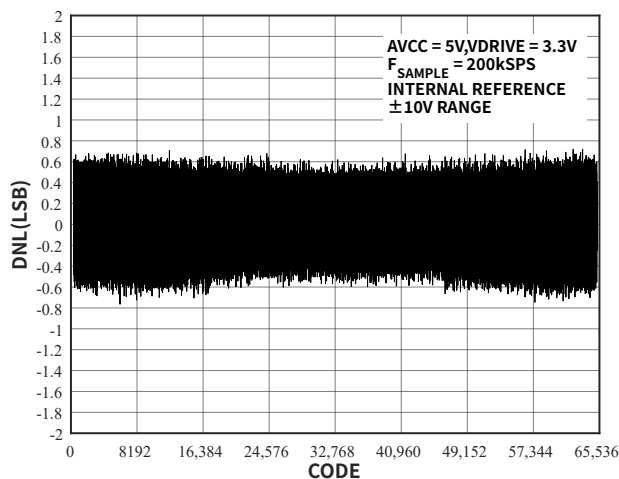
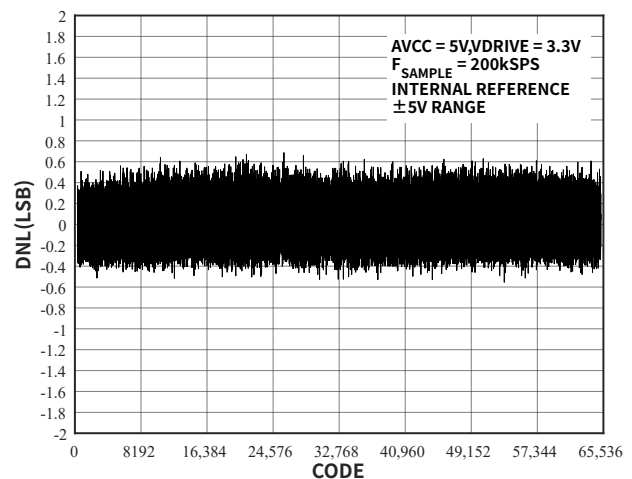
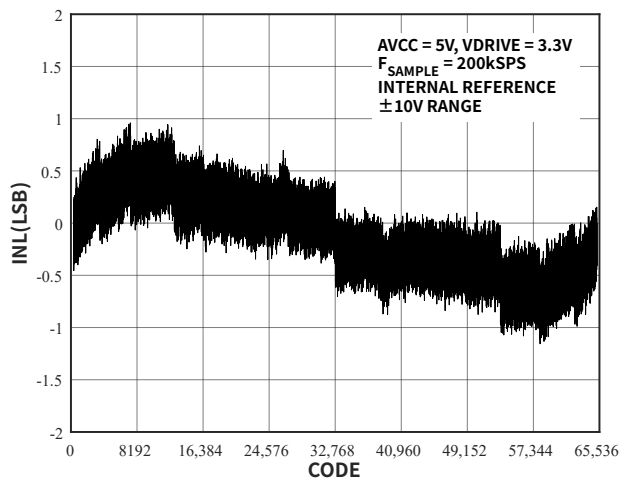
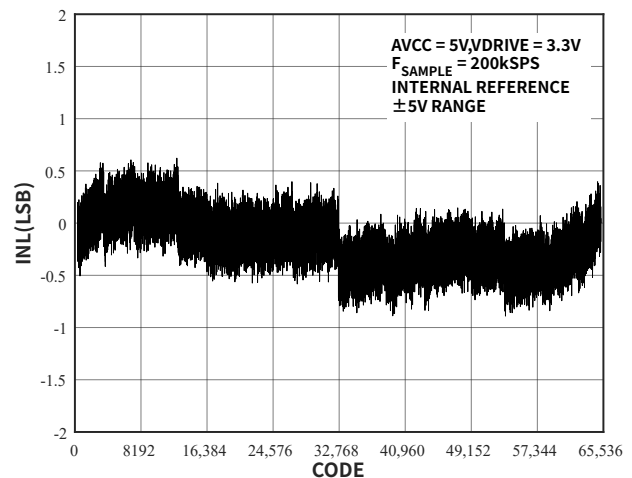
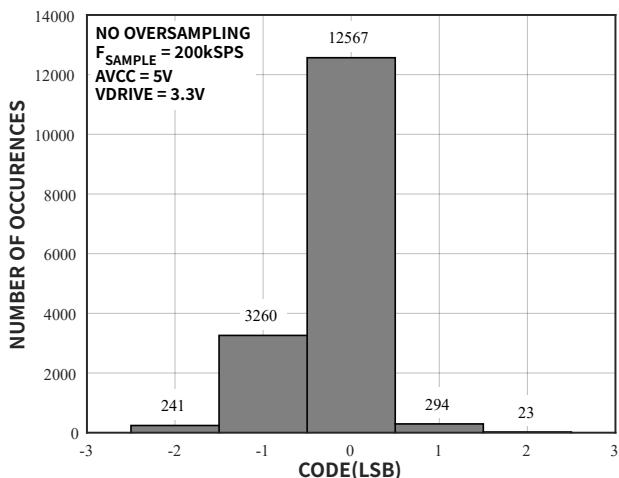
图 8 DNL 误差,  $\pm 10V$  范围图 9 DNL 误差,  $\pm 5V$  范围图 10 INL 误差,  $\pm 10V$  范围图 11 INL 误差,  $\pm 5V$  范围

图 12 零输入直方图-No OS

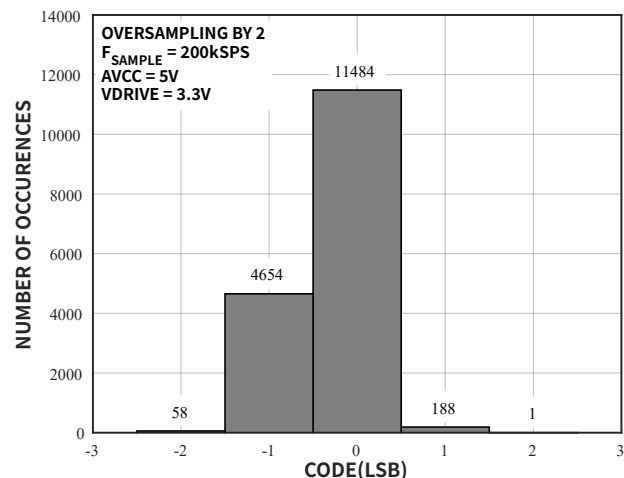


图 13 零输入直方图-OSx2

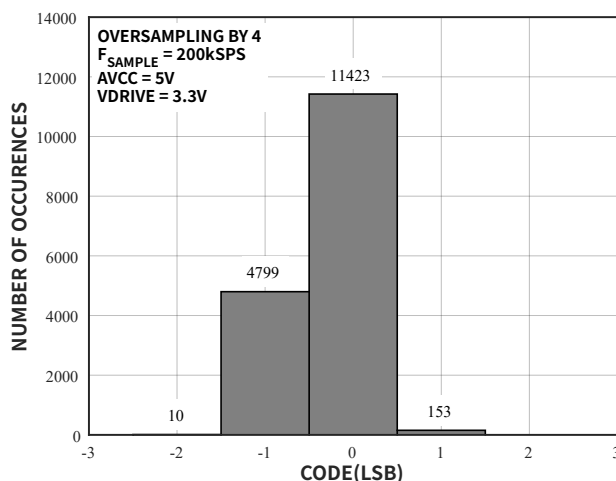


图 14 零输入直方图-OSx4

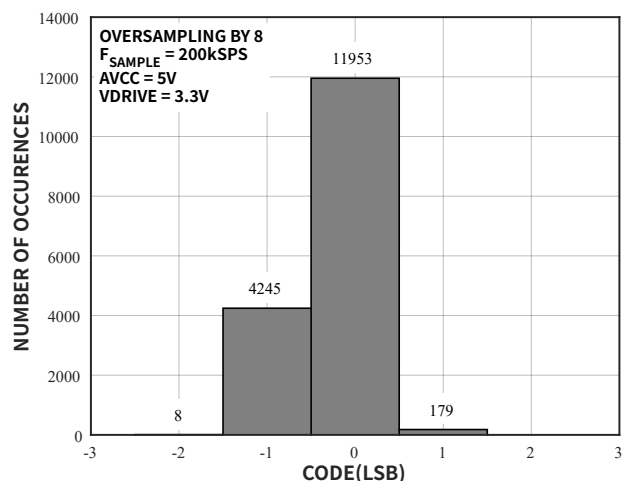


图 15 零输入直方图-OSx8

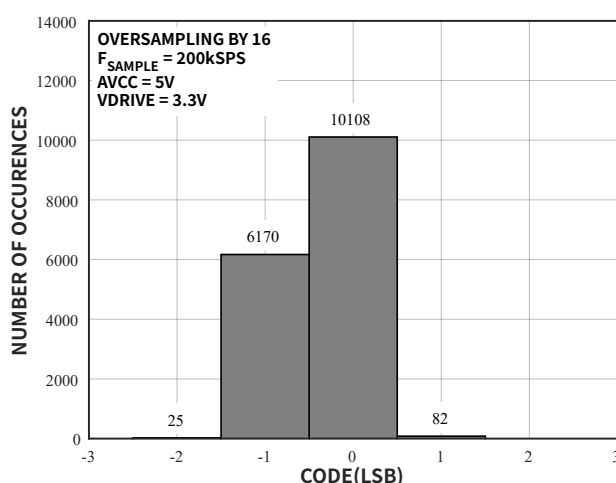


图 16 零输入直方图-OSx16

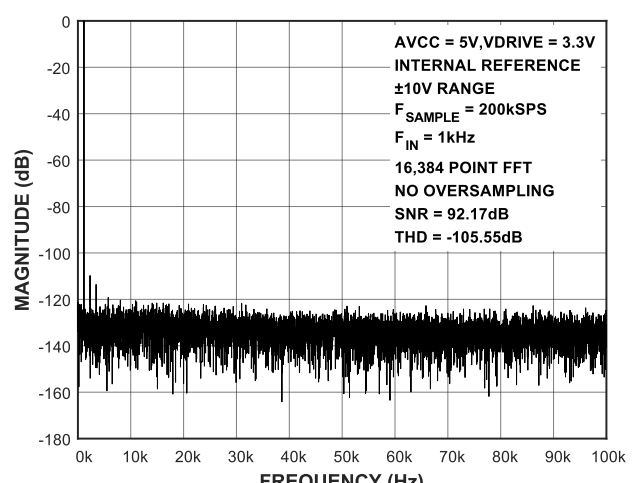


图 17 FFT, ±10V 范围

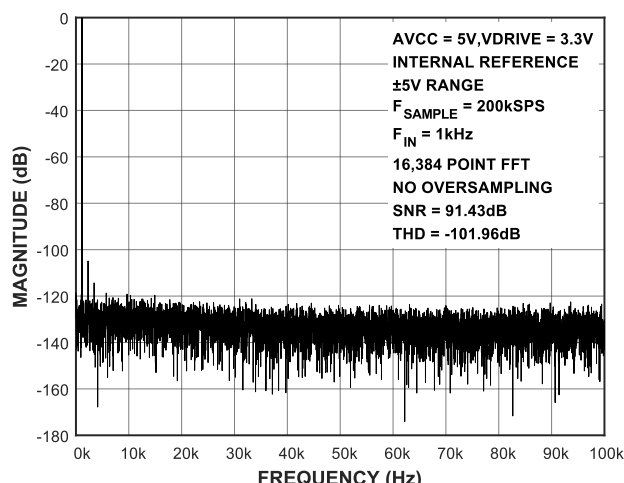


图 18 FFT, ±5V 范围

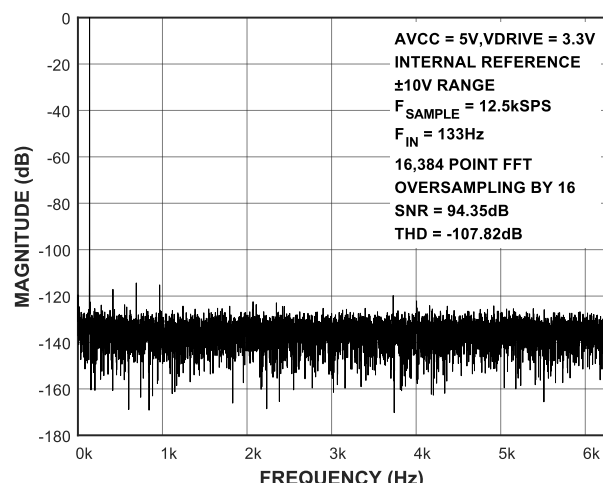


图 19 FFT 过采样(16), ±10V 范围

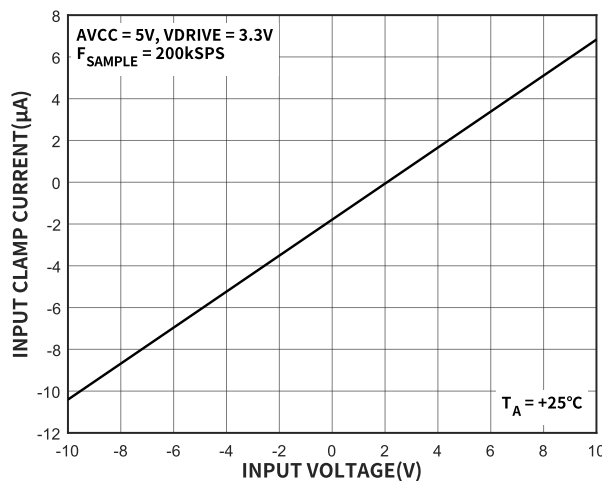


图 20 模拟输入电流与输入电压的关系

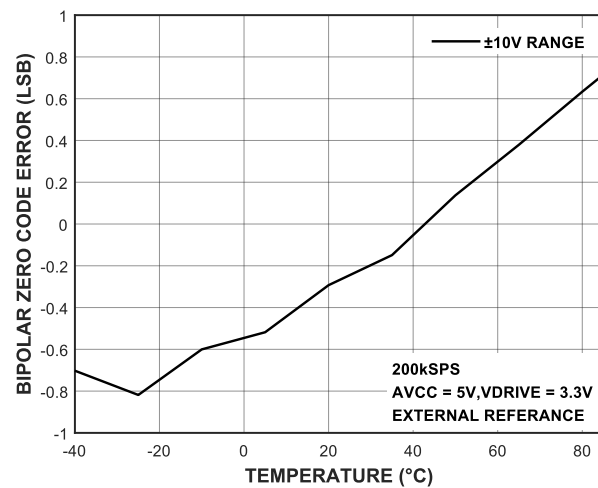


图 21 双极性 0 码误差的温度特性

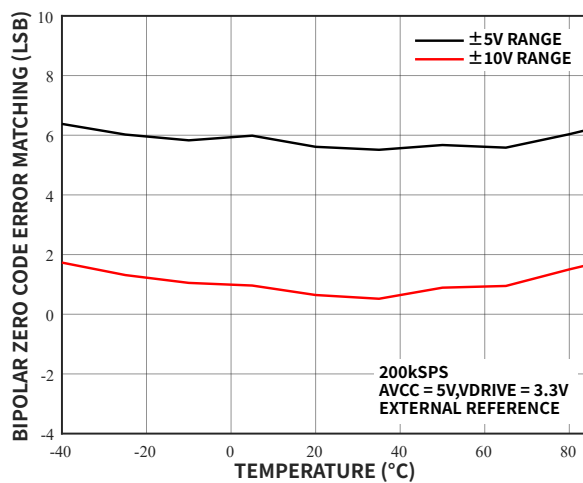


图 22 双极性 0 码误差匹配的温度特性

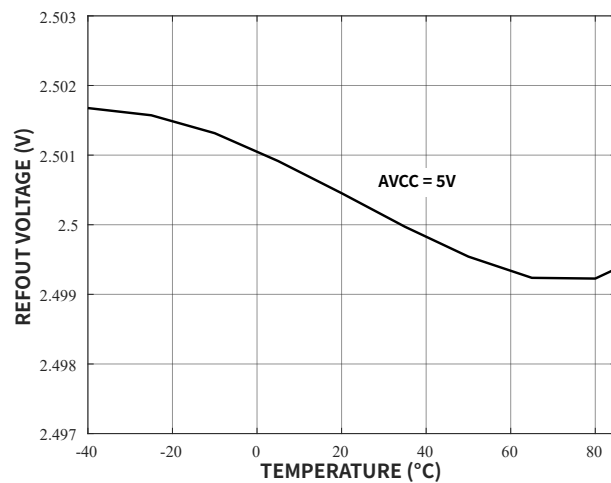


图 23 基准电压温漂

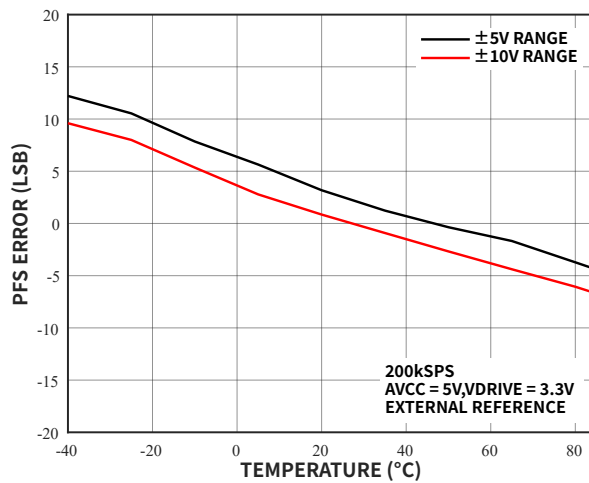


图 24 PFS 误差的温度特性

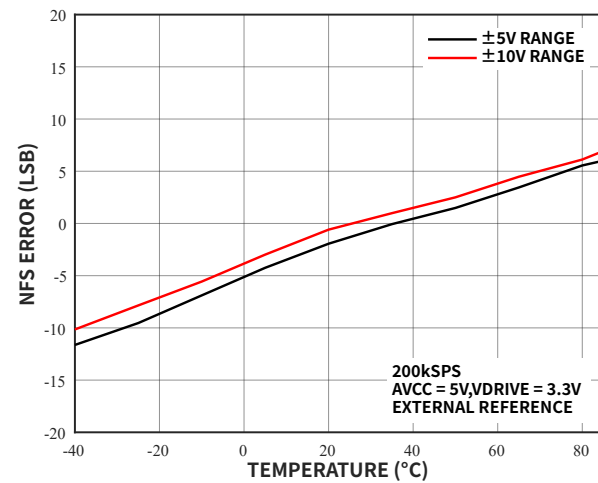


图 25 NFS 误差的温度特性

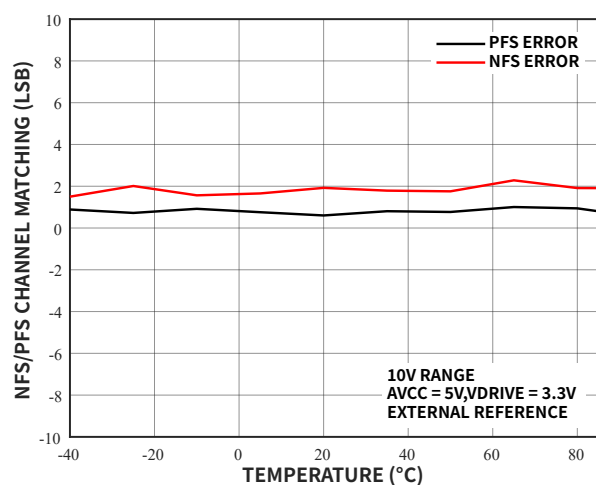


图 26 PFS/NFS 误差匹配的温度特性

## 工作原理

CM2248 是一款采用高速、低功耗逐次逼近型 (SAR) 模数转换器的数据采集系统，可以分别对多至 8 个模拟输入通道进行同步采样，通过配置 RANGE 管脚，可选择  $\pm 5V$  或者  $\pm 10V$  的输入范围。CM2248 采用单电源供电，但其所有模拟输入通道均可以接受真双极性输入信号。

芯片内置输入钳位保护、可编程放大器、二阶抗混叠滤波器、采样保持放大器、内部基准电压、基准电压缓冲器、高速 ADC、数字滤波器以及高速并行和串行接口。通过 CONVST 信号控制 CM2248 的采样过程。

## 模拟输入

### 输入范围

CM2248 可处理真双极性的单端输入信号，可通过 RANGE 管脚来配置模拟输入通道的电压范围。RANGE 为高电平时，则所有模拟输入电压范围为  $\pm 10V$ ；RANGE 为低电平时，则所有模拟输入电压范围为  $\pm 5V$ 。RANGE 管脚逻辑状态的改变会立即影响模拟通道的输入范围，在改变 RANGE 管脚逻辑状态的后，要预留  $80\mu s$  典型值的信号建立时间，再进行下次采样。

### 输入阻抗

CM2248 的模拟输入阻抗均为  $1M\Omega$  的固定输入阻抗，不随芯片采样频率的变化而变化。高模拟输入阻抗可消除前端驱动放大器的需求，使其可以直接连接至信号源或传感器。该特性可以大大简化客户的硬件设计。

### 钳位保护

图 27 所示的各通道模拟输入均含有钳位保护电路。芯片在单 5V 供电的情况下，其模拟输入通道允许过压达到  $\pm 18.5V$ 。

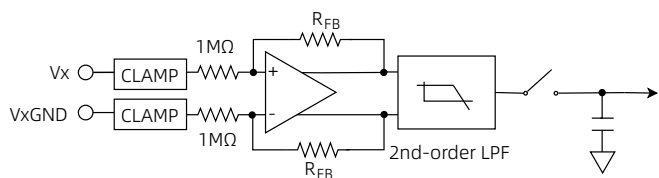


图 27 模拟输入电路

图 28 显示了钳位电路的电压电流特性曲线。当输入电压不超过  $\pm 18.5V$  时，钳位电路不会开启。当输入电压超过  $\pm 18.5V$  时，钳位电路开启，模拟通道输入电流快速增加。

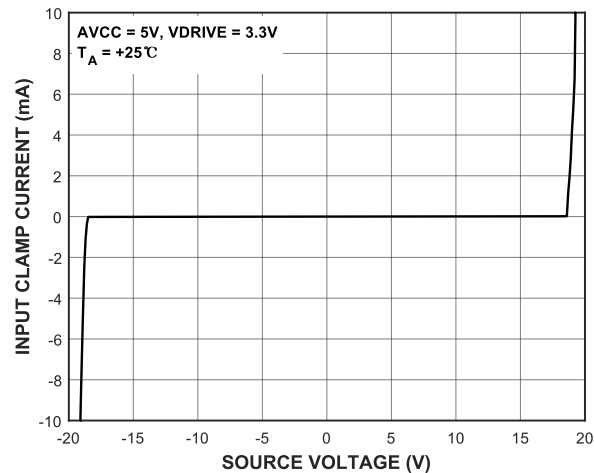


图 28 输入钳位电路 V-I 特性曲线

对于输入电压超过  $\pm 18.5V$  的应用，可以在外部串联电阻解决。值得注意的是，如果模拟输入通道  $Vx$  上添加了一个串联电阻，则其对应的模拟输入 GND 管脚， $VxGND$  上也需要串联一个与之相等的电阻。如果不添加这个电阻，该通道将出现额外的失调误差。

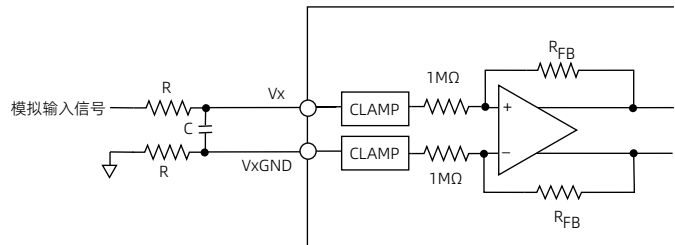


图 29 模拟输入端上输入电阻匹配

### 抗混叠滤波器

CM2248 还提供了模拟抗混叠滤波器。在  $\pm 5V$  的范围内，-3dB 带宽的典型值为  $13.3kHz$ ，在  $\pm 10V$  的范围内，-3dB 带宽典型值为  $20.6kHz$ 。

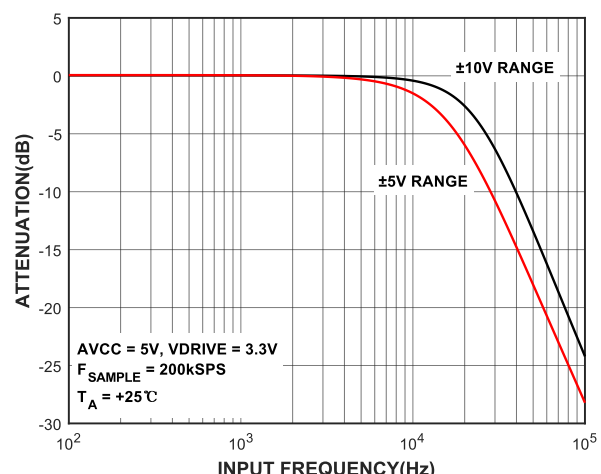


图 30 模拟抗混叠滤波器幅频特性

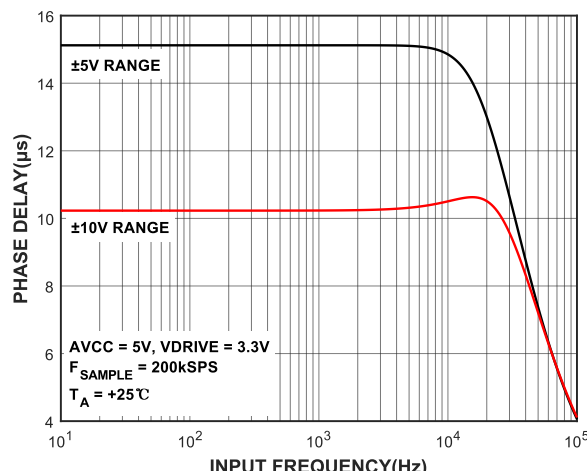


图 31 模拟抗混叠滤波器相频特性

## 采样保持放大器

CM2248 的采样保持放大器可使 ADC 精确采集满量程幅值的输入正弦波。采样保持放大器在 CONVST<sub>x</sub> 上升沿的时候完成对各自输入信号的同步采样，随后进入信号保持阶段。在整个转换期间，采样保持放大器都处于信号保持阶段，直到所有 8 个通道的转换过程已经全部结束，BUSY 的下降沿使得采样保持放大器重新回到采样阶段。

采样保持电路使得在转换期间进行数据的读取几乎不会影响 ADC 的性能，同时有助于实现更快的数据吞吐速率。但是在 VDRIVE 较高同时采用并行接口时，在转换期间读取数据可能会略微降低 ADC 的 SNR 性能。

## 内部/外部基准

CM2248 内置了一个 2.5V 的带隙基准电压源。REFIN/REFOUT 管脚既可以使用该 2.5V 的基准电压，也允许从外部施加一个 2.5V 的基准电压。REF\_SELECT 管脚允许用户选择使用内部基准抑或是外部基准电压。如果此管脚设置为逻辑高，则选择并使能内部基准电压；如果此管脚设置为逻辑低电平，内部基准电压将被禁用，必须从外部施加一个基准电压到 REFIN/REFOUT 管脚。无论使用内部基准还是外部基准模式，都需要在 REFIN/REFOUT 管脚连接去耦电容，一般需要 10μF 的陶瓷去耦电容。CM2248 内置了一个基准电压缓冲器，缓冲器可以将基准电压放大至约 4V。REFCAPA 和 REFCAPB 管脚必须外部短路在一起，并在尽量靠近芯片的位置放置一个 10μF 的陶瓷去耦电容，通过电容将这两个管脚连接至 REFGND，以确保基准电压缓冲器正常工作。

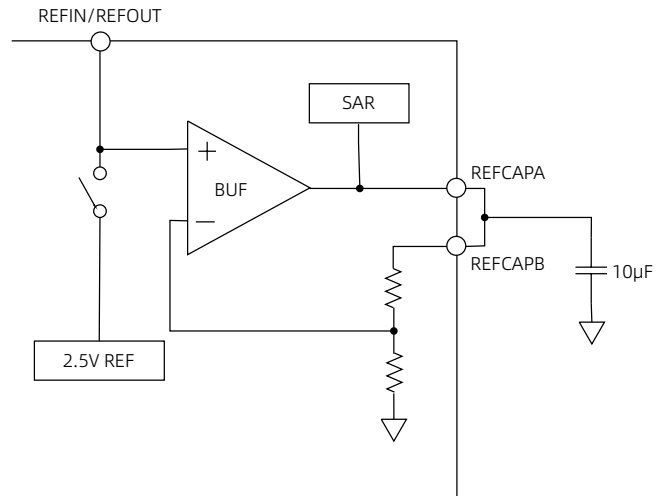


图 32 基准电压电路

## 多芯片并联外部基准电压模式

对于使用多个 CM2248 芯片的应用，如果采用外部基准电压，可以使用一个外部基准电压源驱动所有 CM2248 芯片的 REFIN/REFOUT 管脚。如图 33 所示，建议每一个 CM2248 的 REFIN/REFOUT 管脚都应使用至少一个 100nF 的去耦电容。

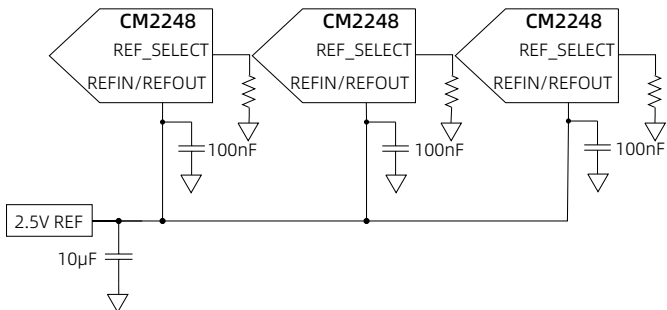


图 33 一个外部基准电压源驱动多个 CM2248

## 多芯片并联内部基准电压模式

当芯片配置为内部基准电压模式，其内部基准电压输出可以作为其余 CM2248 芯片的外部基准源。其中，配置为内部基准电压模式的 CM2248 应采用一个 10μF 的陶瓷电容对其 REFIN/REFOUT 管脚去耦。配置为外部基准电压模式的其他 CM2248 芯片，在每个 REFIN/REFOUT 管脚上，都应至少采用一个 100nF 的去耦电容。

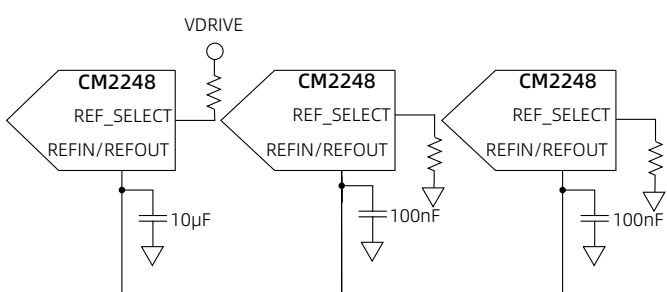


图 34 内部基准电压源驱动多个 CM2248

## ADC 传递函数

CM2248 的 LSB 大小取决于 FSR 的大小，即  $FSR/65536$ ，其输出转换值的编码方式为二进制补码。

ADC 在  $\pm 10V$  RANGE、 $\pm 5V$  RANGE 的传递函数为：

$$\pm 10V \text{ CODE} = \frac{VIN}{10V} \times 32768 \times \frac{2.5V}{REF}$$

$$\pm 5V \text{ CODE} = \frac{VIN}{5V} \times 32768 \times \frac{2.5V}{REF}$$

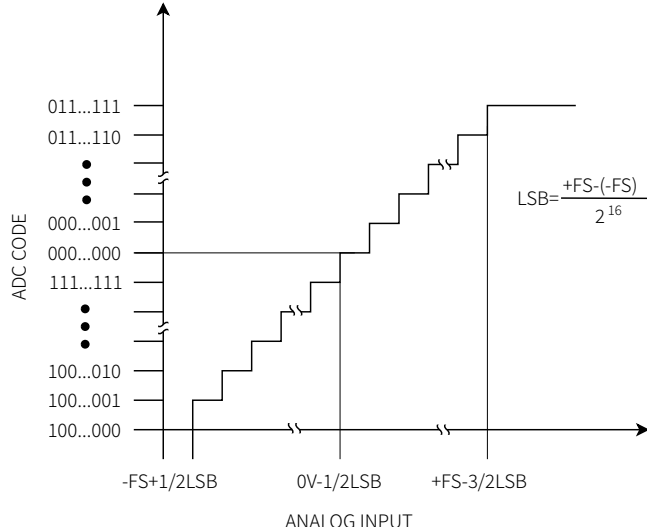


图 35 传递特性

RANGE	+FS	MIDSCALE	-FS	LSB
$\pm 10V$	+10V	0V	-10V	$305\mu V$
$\pm 5V$	+5V	0V	-5V	$152\mu V$

## 数字滤波器

CM2248 内置一个可选的数字一阶 SINC 滤波器，使用该滤波器能够得到更宽的动态范围，但会降低模拟输入的带宽和 ADC 最大数据输出速率。数字滤波器的过采样率由过采样管脚 OS[2:0] 控制，见表 2。OS2 为 MSB 控制位，OS0 为 LSB 控制位。表 2 提供了不同过采样率下的配置及带宽限制。

表 2 过采样位解码

OS[2:0]	过采样率	5V 范围 3dB 带宽(kHz)	10V 范围 3dB 带宽(kHz)	最大吞吐量 CONVST 频率(kHz)
000	无过采样	13.3	20.6	200
001	2	13.2	20.4	100
010	4	11.1	17.5	50
011	8	9.9	11.8	25
100	16	6	5.8	12.5
101	32	3	3	6.25
110	64	1.5	1.6	3.125
111	无效			

## 功能与模式

### 功耗模式

CM2248 有四种功耗模式：转换模式、静态模式、待机模式和关断模式。

转换模式下，8 个通道 ADC 同时进行转换，此时为芯片的最大功耗模式，典型功耗为 107.5mW。

转换完成后，芯片进入静态模式，ADC 处于低功耗状态，但采样电路仍然保持在工作状态，以便能够随时响应 CONVST 信号立即进入转换模式。静态模式下功耗略有降低，典型功耗为 82.5mW。

$\overline{\text{STBY}}$  管脚接低电平， $\text{RANGE}$  管脚接高电平时，进入待机模式，ADC 和采样电路都处于低功耗状态，芯片整体功耗进一步降低，典型值为 28.5mW。从待机模式退出后，内部电路需要 100 $\mu$ s 的建立时间，然后进入静态模式。

$\overline{\text{STBY}}$  管脚和  $\text{RANGE}$  管脚都接低电平时，进入关断模式，大部分电路模块均关断，此时芯片的典型功耗为 5 $\mu$ W。从关断模式退出后需要 12ms 的等待时间才可以开始进行正常的转换功能。

表 3 显示了不同功耗模式的配置情况。

表 3 功耗模式选择

功耗模式	$\overline{\text{STBY}}$	RANGE
转换	1	X
静态	1	X
待机	0	1
关断	0	0

### 转换控制

$\text{CONVSTA}$  的上升沿用于通道 V1 至 V4 的同步采样控制， $\text{CONVSTB}$  的上升沿用于通道 V5 至 V8 的同步采样控制。基于这种分组控制逻辑，用户可选择对 8 个通道进行同步采样，此时应将  $\text{CONVSTA}$  和  $\text{CONVSTB}$  两个管脚连接在一起，同时给予上升沿激励。用户也可以对两组通道进行独立采样，分别在不同时刻给予  $\text{CONVSTA}$  和  $\text{CONVSTB}$  上升沿。通过对  $\text{CONVSTA}$  和  $\text{CONVSTB}$  的时间间隔控制，实现对采样信号的相位补偿。只有当两个  $\text{CONVST}$  信号均已收到上升沿激励后， $\text{BUSY}$  才会变为高电平，表示转换开始。在此独立采样模式下，不可使用过采样功能。时序如图 36 所示。

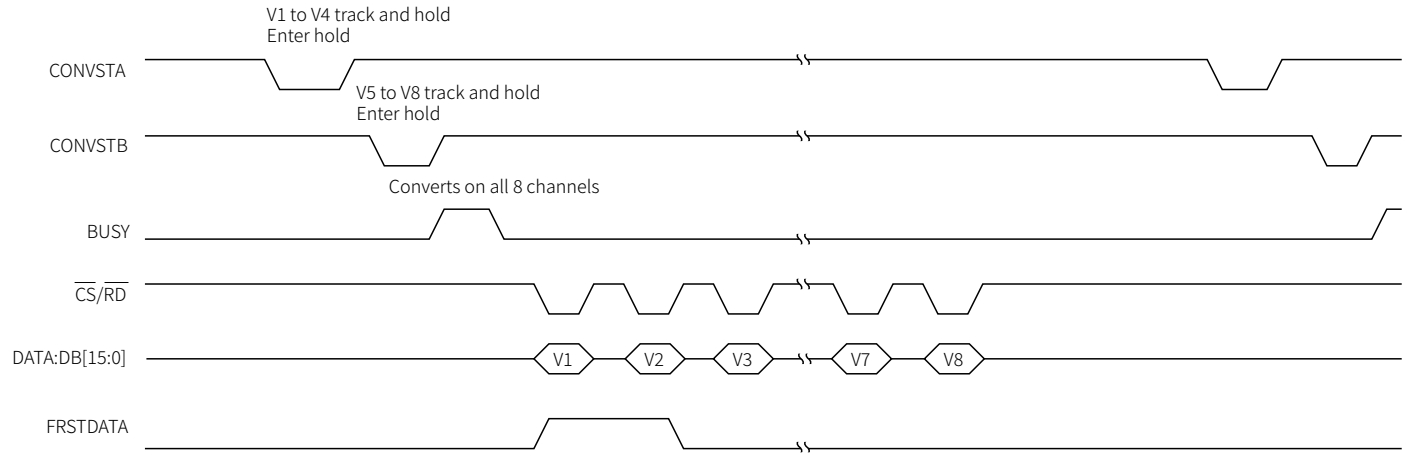


图 36 CONVSTA 和 CONVSTB 分别进行同步采样

## 数字接口

CM2248 提供三种接口选项：并行接口、高速串行接口和并行字节接口。所需接口模式可通过  $\overline{\text{PAR}}/\text{SER}/\text{BYTE\_SEL}$  和  $\text{DB15}/\text{BYTE\_SEL}$  管脚来选择，见表 4。

表 4 接口模式选择

$\overline{\text{PAR}}/\text{SER}/\text{BYTE\_SEL}$	$\text{DB15}$	接口模式
0	-	并行接口模式
1	0	串行接口模式
1	1	并行字节接口模式

## 并行接口

可以用标准  $\overline{\text{CS}}$  和  $\overline{\text{RD}}$  信号通过并行数据总线从 CM2248 读取数据。 $\overline{\text{CS}}$  输入信号上升沿使并行数据总线进入高阻态，下降沿则使总线脱离高阻状态。 $\overline{\text{RD}}$  管脚用来从转换结果寄存器中读取数据，对 CM2248 的  $\overline{\text{RD}}$  管脚施加低脉冲序列，可使各通道的转换结果按照通道序号逐个输出到并行总线  $\text{DB}[15:0]$ 。

$\text{BUSY}$  信号变为低电平后，第一个  $\overline{\text{RD}}$  下降沿， $\text{RD}$  管脚将输出通道 V1 的转换结果，下一个  $\overline{\text{RD}}$  下降沿则将在总线上输出 V2 通道的转换结果，依此类推。

并行模式下， $\text{FRSTDATA}$  表示何时回读第一个转换通道 V1 的结果。第一个  $\overline{\text{RD}}$  下降沿， $\text{FRSTDATA}$  变为高电平，在 V1 的结果全部读取完毕后，恢复低电平。

## 串行接口

CM2248 有两个串行数据输出管脚： $\text{DOUTA}$  和  $\text{DOUTB}$ 。 $\text{DOUTA}$  顺序输出通道转换数据，即按 V1、V2、V3、V4、V5、V6、V7、V8 的顺序输出； $\text{DOUTB}$  则是按照 V5、V6、V7、V8、V1、V2、V3、V4 的顺序输出转换数据。

$\overline{\text{CS}}$  下降沿使数据线路  $\text{DOUTA}$  和  $\text{DOUTB}$  脱离高阻态，随后的  $\text{SCLK}$  上升沿则依次将所有数据位逐个送至对应的串行总线输出。可以使  $\overline{\text{CS}}$  输入在整个串行读取的过程中拉低，也可以通过低脉冲的方式，以 16 个  $\text{SCLK}$  周期为一帧，逐帧读取。

可以仅用一路  $\text{DOUT}$ ，通过 8 帧读取所有通道的转换数据，这种情况下，建议用  $\text{DOUTA}$  访问所有转换数据。也可以双路同时读取，这样 4 帧读取即可完成所有通道的转换数据，此时  $\text{DOUTA}$  依次输出 V1、V2、V3、V4 的数据转换结果， $\text{DOUTB}$  依次输出 V5、V6、V7、V8 的数据转换结果。

$\text{FRSTDATA}$  输出信号指示何时回读第一通道 V1 的转换结果。在串行模式下， $\overline{\text{CS}}$  下降沿使  $\text{FRSTDATA}$  脱离高阻态，并将  $\text{FRSTDATA}$  管脚设为高电平。在第 16 个  $\text{SCLK}$  下降沿后， $\text{FRSTDATA}$  输出恢复逻辑低电平。

## 并行字节接口

并行字节接口模式的工作原理与并行接口模式非常相似，不过各通道的转换结果是分两次 8 位传输读出。因此，读取 CM2248 所有通道的转换结果需要 16 个  $\overline{\text{RD}}$  脉冲。

在并行字节输出模式下， $\text{DB}[7:0]$  用来将数据并行输出， $\text{DB14}$  充当  $\text{HBEN}$  管脚。当  $\text{DB14}/\text{HBEN}$  被设置为逻辑高电平时，CM2248 将首先输出转换数据的高字节 (MSB)，然后输出低字节 (LSB)。当  $\text{DB14}/\text{HBEN}$  设置为逻辑低电平时，则首先输出转换结果的低字节。

并行字节接口模式下， $\text{FRSTDATA}$  在读取 V1 通道的 MSB 和 LSB 数据过程中都保持高电平。

## 应用

### 典型连接

图 37 显示了 CM2248 的典型连接图。CM2248 有 4 个 AVCC 管脚，应当使用 4 个 100nF 去耦电容分别就近加在 4 个 AVCC 管脚处。4 个 AVCC 连接到一个总电源，并在总电源侧采用一个 10μF 去耦电容。

CM2248 既可以在内部基准电压模式下工作，也可以在外部基准电压下工作。在图 37 配置中，CM2248 被配置为在内部基准电

压下工作。当电路板上只有一个 CM2248 芯片时，应采用一个 10μF 的电容对其 REFIN/REFOUT 管脚去耦。当应用中使用多个 CM2248 芯片时，请参考[多芯片并联外部基准电压模式](#)以及[多芯片并联内部基准电压模式](#)章节。

REFCAPA 和 REFCAPB 管脚应当短路在一起，并与 REFGND 之间连接一个 10μF 的低 ESR 陶瓷去耦电容。

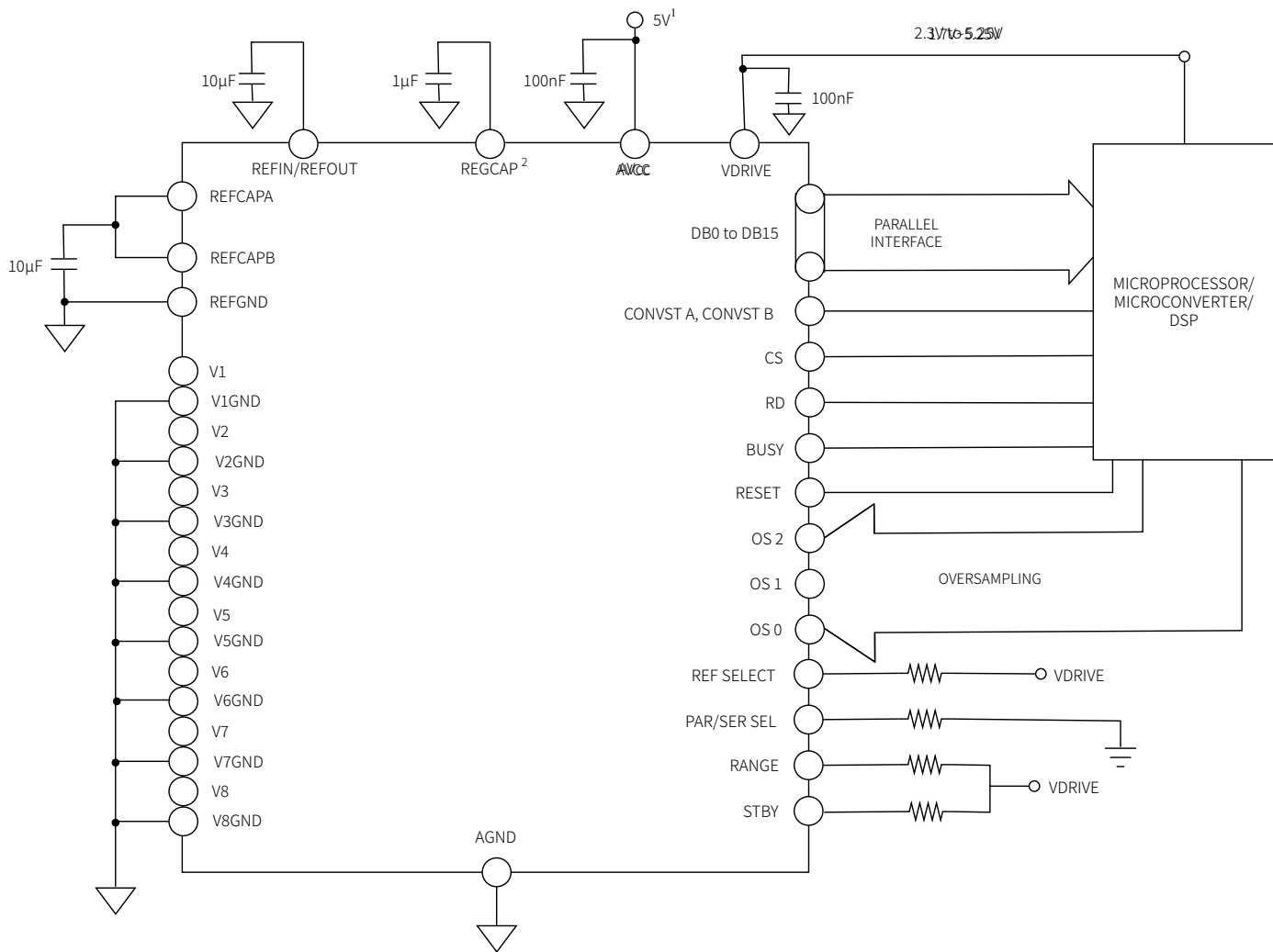


图 37 典型连接

注 1: AVCC 管脚上的去耦配置适用于所有 AVCC 管脚（管脚 1、管脚 37、管脚 38、管脚 48）；管脚 37 和管脚 38 的 AVCC 去耦电容可以共用。

注 2: REGCAP 管脚上的去耦配置适用于所有 REGCAP 管脚（管脚 36 和管脚 39 不能接到一起）。

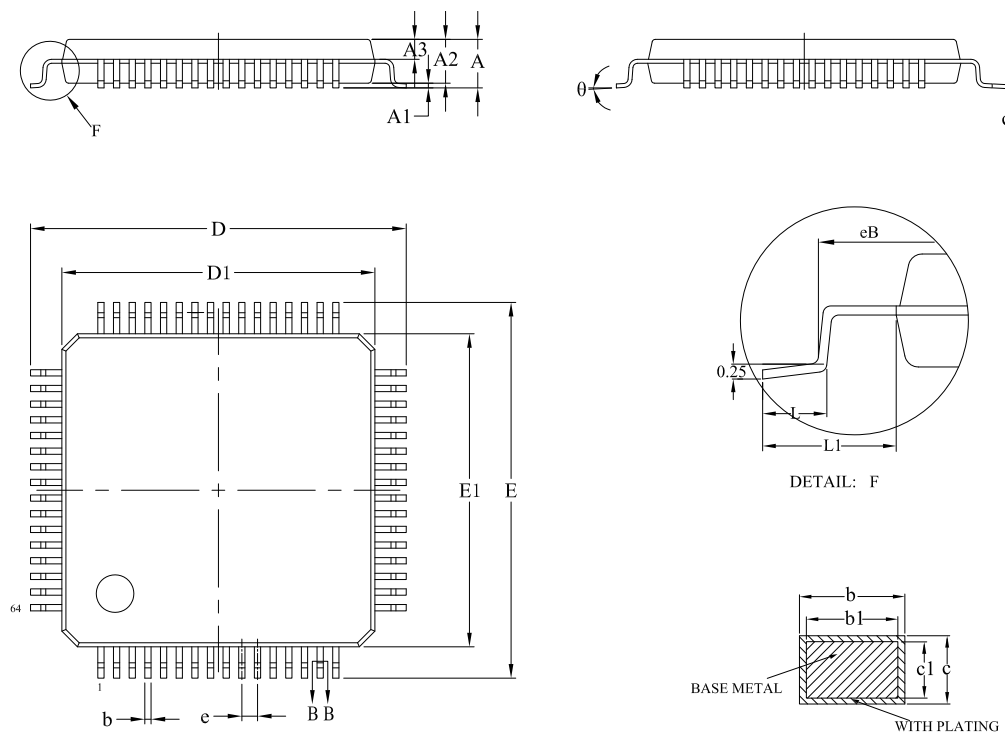
## II 封装及订购信息

### 封装方式

CM2248 采用 LQFP64 封装。

### 产品外形图

产品外形图如下图所示。



标识	尺寸 (毫米)		
	最小值	典型值	最大值
A	-	-	1.60
A1	0.05	0.10	0.15
A2	1.35	1.40	1.45
A3	0.59	0.64	0.69
b	0.18	0.22	0.26
b1	0.17	0.20	0.23
c	0.13	0.15	0.17
c1	0.12	0.13	0.14
D	11.80	12.00	12.20
D1	9.90	10.00	10.10
E	11.80	12.00	12.20
E1	9.90	10.00	10.10
e	0.50 (BSC)		
eB	11.05	11.15	11.25
L	0.45	0.60	0.75
L1	1.00 (REF)		
θ	0	3.5°	7°

## 订购信息

型号	温度范围	封装	包装	包装数量
CM2248-QFPTR	-40°C~125°C	LQFP64	Tray	1600